

Liposzómák terápiás alkalmazásai (szisztemás terápia)

Dr. Voszka István

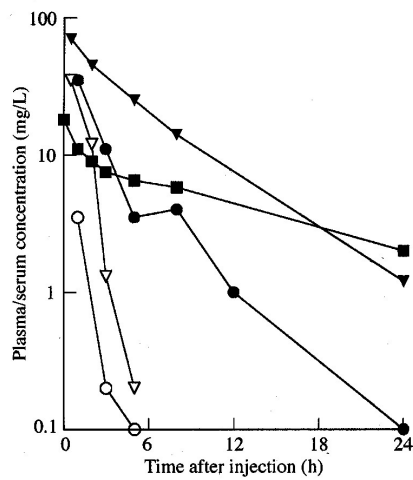


Figure 1. Circulation kinetics of conventional liposome encapsulated aminoglycosides (closed symbols) and free aminoglycosides (open symbols). Aminoglycoside concentrations at indicated time-points after injection of a single dose of gentamicin 20 mg/kg in rats (triangles),⁶⁶ amikacin 40 mg/kg in mice (circles)⁶⁸ or gentamicin 5.1 mg/kg in AIDS patients (squares).⁸⁰



b) Szisztemás alkalmazások

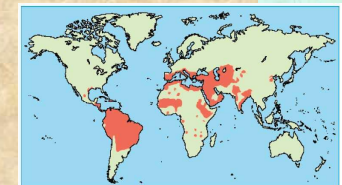
Általában akkor, ha az adott gyógyszernek súlyos mellékhatásai vannak.



1.A RES-t érintő betegségek kezelhetők

C-liposzómába zárt gyógyszerekkel.

Pl. a leishmaniasis kezelhető liposzómás antimon-származékokkal



2.Antibiotikumok

Főképp, ha az adott gyógyszer terápiás és toxikus koncentrációja között kicsi a különbség

Liposzómában - a szükséges gyógyszemennyiség lecsökken
- a kezelés hatásfoka javul

Baktériumellenes pl. aminoglikozid típusú antibiotikumok
brucellózis, vesemedence-gyulladás kezelésére (streptomycin,
gentamycin, stb.)

Gombaellenes pl. Amphotericin B

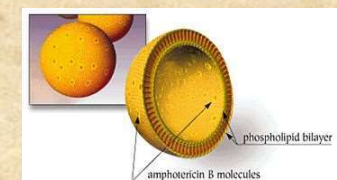
(első törzskönyvezett liposzómás

gyógyszerkészítmény – gyári neve

AmBisome®

telített PC / Chol / DSPG (2: 1: 0,8) +
10 mol% AmB ~80 nm-es SUV-okban)

A toxicitás behatárolja az adható
mennyiséget. Gyakran a toxikus
koncentráció kisebb, mint a minimális
terápiás.



Liposzómában kevesebb mellékhatás
(mellékhatások: láz, izomfájdalom,
thrombophlebitis, vesekárrosodás, anaemia)

Feltételezett ok: a liposzómák affinitása sokkal
kisebb a humán sejtek koleszterinjéhez, mint a
gombasejtek ergoszterinjéhez

Más törzskönyvezett liposzómás Amphotericin
B készítmény: Abelcet®



ABELCET 5 mg/ml szuszpenziós infúzió

Hatóanyag: **Amphotericin b**

Kiszerelés: **10x20 ml**

•vényköteles

Fogyasztói ár: **430496 Ft** Támogatott ár: **430496 Ft**

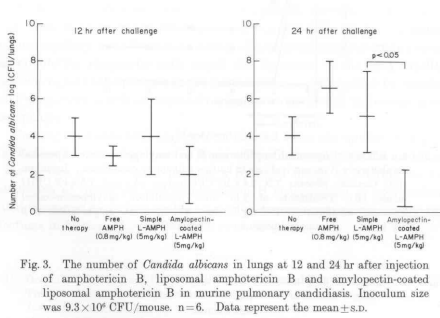
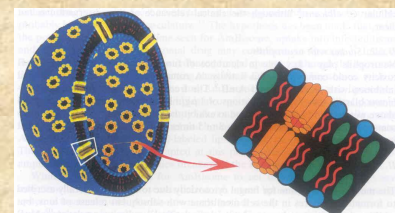


Fig. 3. The number of *Candida albicans* in lungs at 12 and 24 hr after injection of amphotericin B, liposomal amphotericin B and amylopectin-coated liposomal amphotericin B in murine pulmonary candidiasis. Inoculum size was 9.3×10^6 CFU/mouse. n = 6. Data represent the mean \pm S.D.



Polysaccharide-Coated Liposomal Amphotericin B for Pulmonary Candidiasis 487

TABLE I. Organ concentration of amphotericin B after injection of free, simple liposomal, and amylopectin-coated liposomal amphotericin B in normal mice

	Free-AMPH ^a		Simple-Lipo-AMPH ^b		Ap-Lipo-AMPH ^b	
	30 min (μ g/g)	24 h (μ g/g)	30 min (μ g/g)	24 hr (μ g/g)	30 min (μ g/g)	24 h (μ g/g)
Brain	ND ^c	ND	ND	ND	ND	ND
Heart	0.12 ± 0.02^d	ND	1.64 ± 0.41	0.85 ± 0.22	1.13 ± 0.46	0.35 ± 0.06
Lungs	0.34 ± 0.05	ND	25.42 ± 7.78	2.36 ± 0.5	55.33 ± 0.71	2.5 ± 0.38
Liver	0.94 ± 0.12	0.29 ± 0.07	14.2 ± 2.36	14.7 ± 1.28	10.46 ± 1.16	12.47 ± 1.07
Spleen	0.81 ± 0.17	0.23 ± 0.10	15.56 ± 2.93	13.61 ± 3.65	10.17 ± 0.76	10.39 ± 0.8
Kidneys	0.36 ± 0.07	0.09 ± 0.03	3.7 ± 1.05	1.88 ± 0.36	2.85 ± 0.18	0.43 ± 0.23

^aAmphotericin B 0.8 mg/kg weight.

^bAmphotericin B 5.0 mg/kg weight.

^cNot detectable (less than 0.09 μ g/g tissue).

^dThe mean \pm S.D.

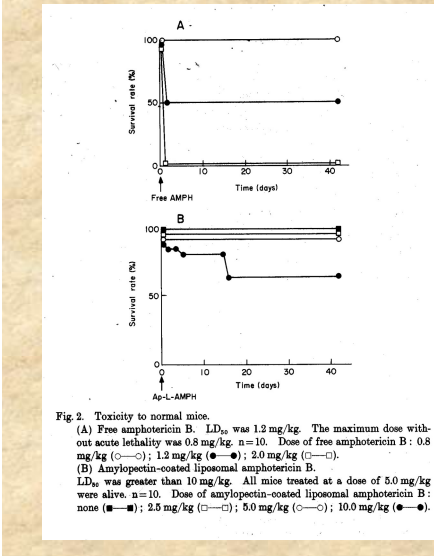


Fig. 2. Toxicity to normal mice.

(A) Free amphotericin B. LD₅₀ was 1.2 mg/kg. The maximum dose without acute lethality was 0.8 mg/kg, n = 10. Dose of free amphotericin B: 0.8 mg/kg (○—○); 1.2 mg/kg (●—●); 2.0 mg/kg (□—□).

(B) Amylopectin-coated liposomal amphotericin B.

LD₅₀ was greater than 10 mg/kg. All mice treated at a dose of 5.0 mg/kg were alive, n = 10. Dose of amylopectin-coated liposomal amphotericin B: none (■—■); 2.5 mg/kg (□—□); 5.0 mg/kg (○—○); 10.0 mg/kg (●—●).

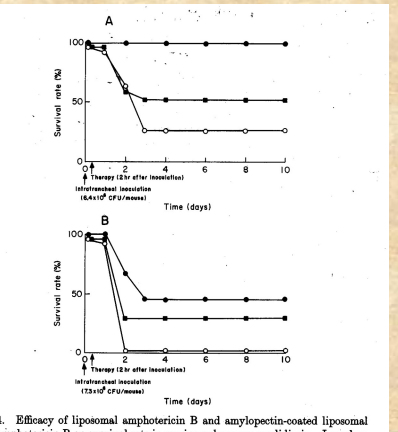
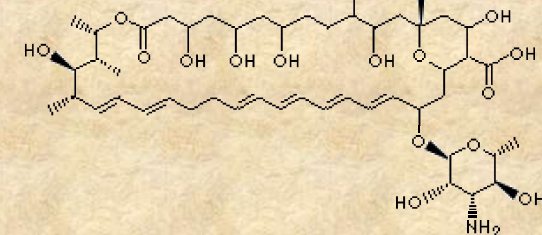
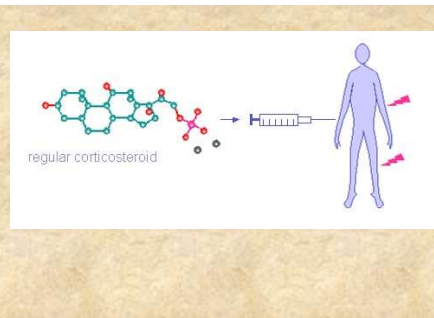


Fig. 4. Efficacy of liposomal amphotericin B and amylopectin-coated liposomal amphotericin B on survival rate in murine pulmonary candidiasis. Inoculum size: *Candida albicans* 7 N 6.4×10^6 CFU/mouse (A) and 7.3×10^6 CFU/mouse (B). Treatments at 2 hr after inoculation: amylopectin-coated liposomal amphotericin B 5 mg/kg (●—●); liposomal amphotericin B 5 mg/kg (□—□); empty liposome (○—○). n = 10.

Nyotran (liposzómás nystatin) foszfolipid liposzómában



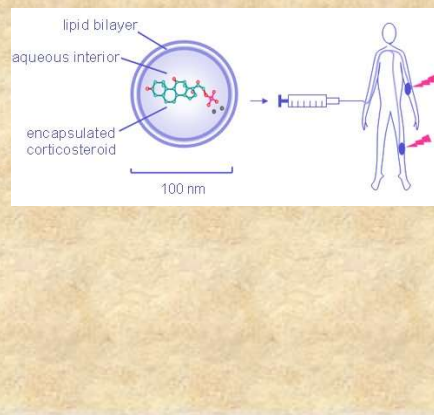
Szteroidok



Nanocort®: a terápiás elv

Kortikoszteroid SUV-ba zárva. Szelektíven dúsul a gyulladásokban és a daganatokban az érfalak fokozott permeabilitása miatt.

A liposzómákat foszfolipid és koleszterin alkotja.



Caelyx 2 mg/ml koncentrátum infúzióhoz (1x10 ml) gyógyszer adatai

Gyártó: Janssen-Cilag International

Hatóanyag: doxorubicin

Kiszerelés: 1x10 ml

Fogyasztói ár: 146393 Ft

Támogatott ár: 146393 Ft

Normatív TB támogatás: 0%

Közgyógyellátásra adható: igen

EÜ támogatásra adható: nem

EÜ 100% támogatásra adható: nem



Kiadhatóság:

Szakorvosi/kórházi diagnózist követően, folyamatos szakorvosi ellenőrzés mellett alkalmazható készítmények.

MYOCET 50 mg por és előkeverékek liposzómás diszperziós infúzió készítésére szánt koncentrátumhoz

Kiszerelés
2 db 50 mg-os sorozat

Kiadhatóság
vényköteles

Fogyasztói ár
379 737 Ft

Fizetendő ár
379 737 Ft



3. Daganatterápia

Liposzómák alkalmazásával csökkenhetők a gyakran igen súlyos mellékhatások

P1. doxorubicin (Doxyl®, Caelyx®, Myocet®)

– szívizom-károsodás

methotrexate – máj-, vesekárosodás, kopaszás

vincristin (Onco TCS) – perifériás idegek károsodása, kopaszás

Ara-C (DepoCyt®) – csontvelő-, bélfa-károsodás

Daunorubicin (DaunoXome®) – szívizom-, csontvelő-károsodás



Közönséges liposzómák → RES-t érintő daganatok ill. áttétek kezelése

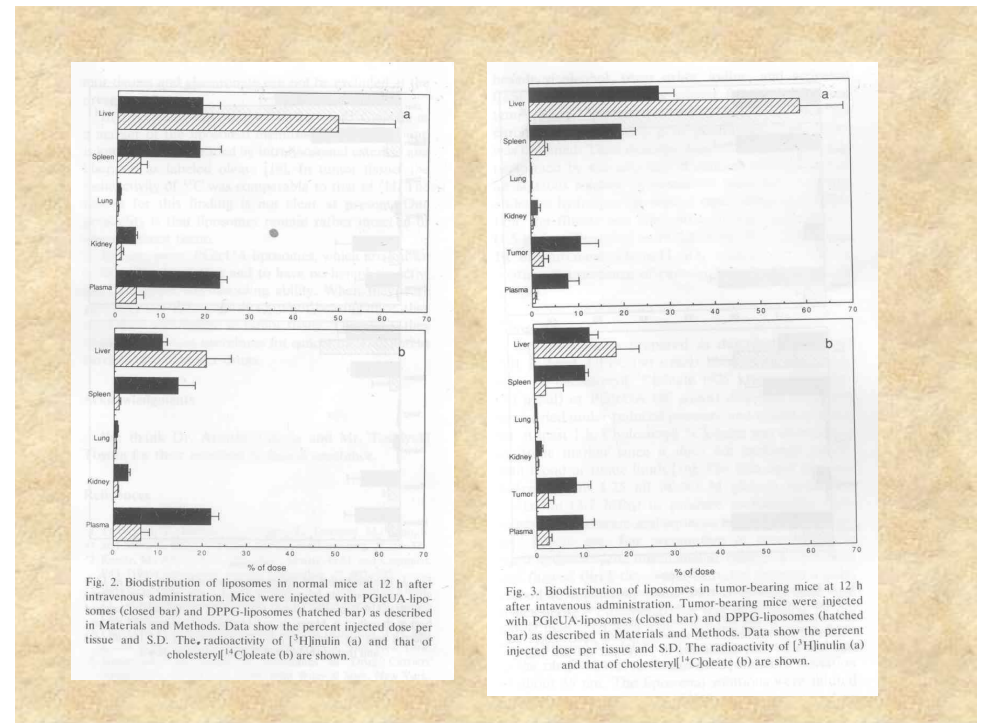
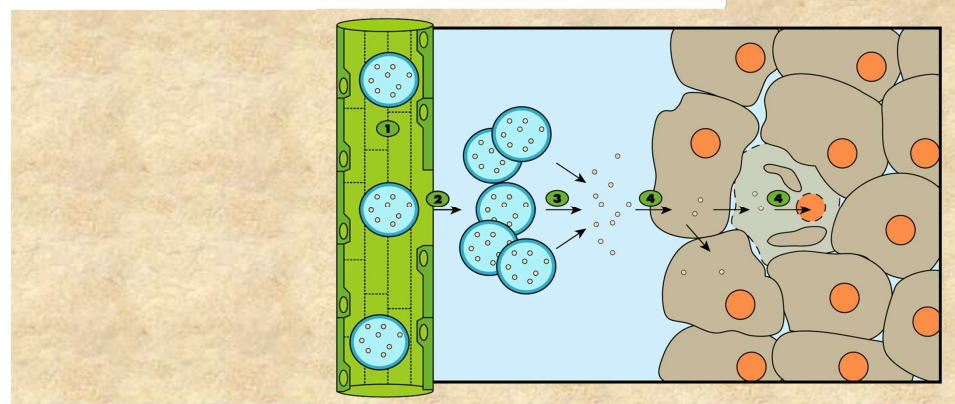
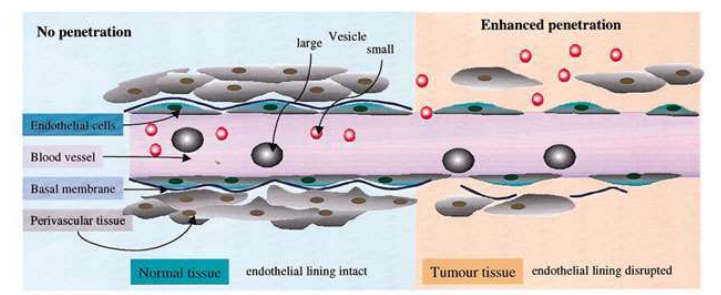
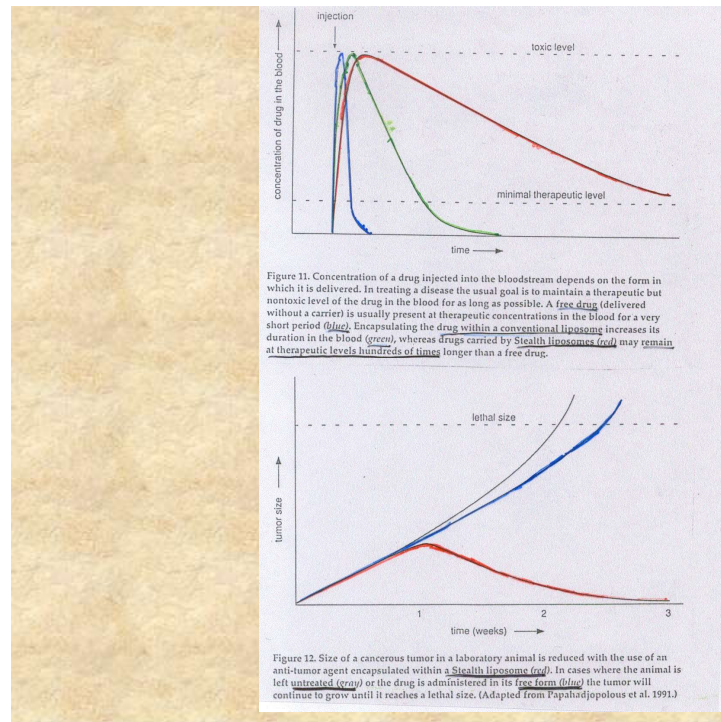
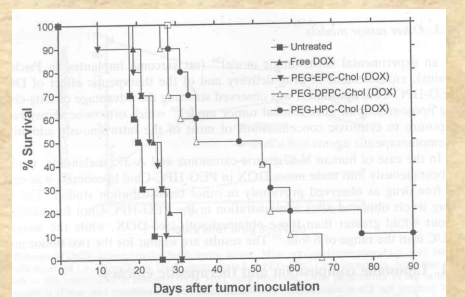
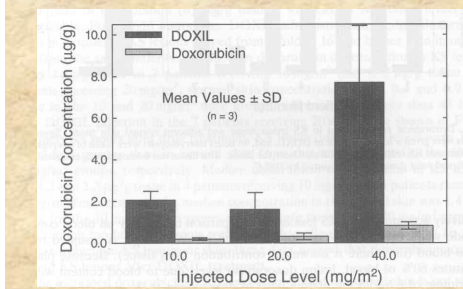
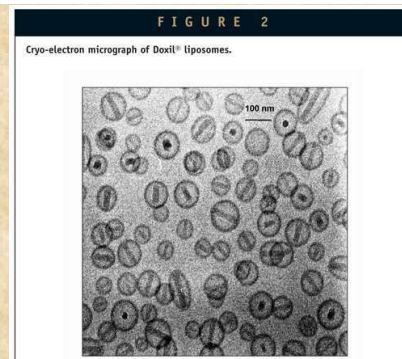
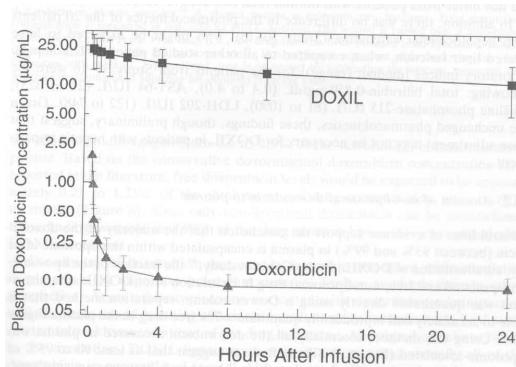
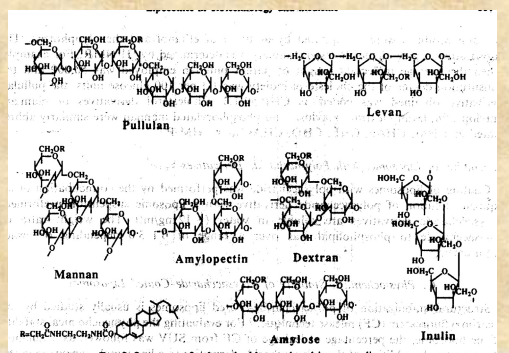
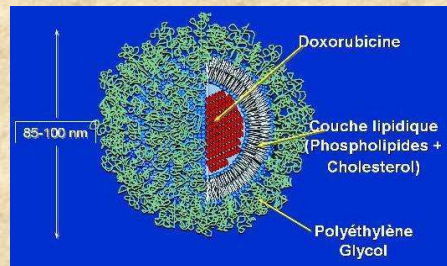
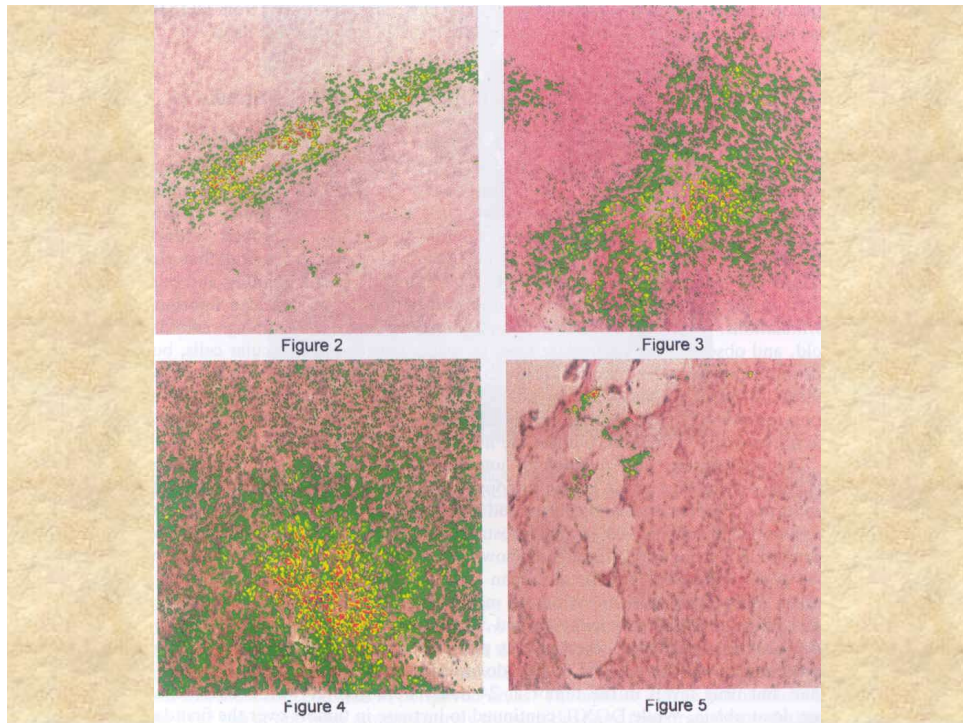


Figure 3: Bar charts showing the biodistribution of liposomes in tumor-bearing mice at 12 h after intravenous administration. Tumor-bearing mice were injected with PGlcUA-liposomes (closed bar) and DPPG-liposomes (hatched bar) as described in Materials and Methods. Data show the percent injected dose per tissue and S.D. The radioactivity of [³H]inulin (a) and that of cholestearyl[¹⁴]oleate (b) are shown.

Stealth liposzómában (PEG, glukuronsav, sziásav a felületen) – nagyobb szelektivitás és hatékonyság



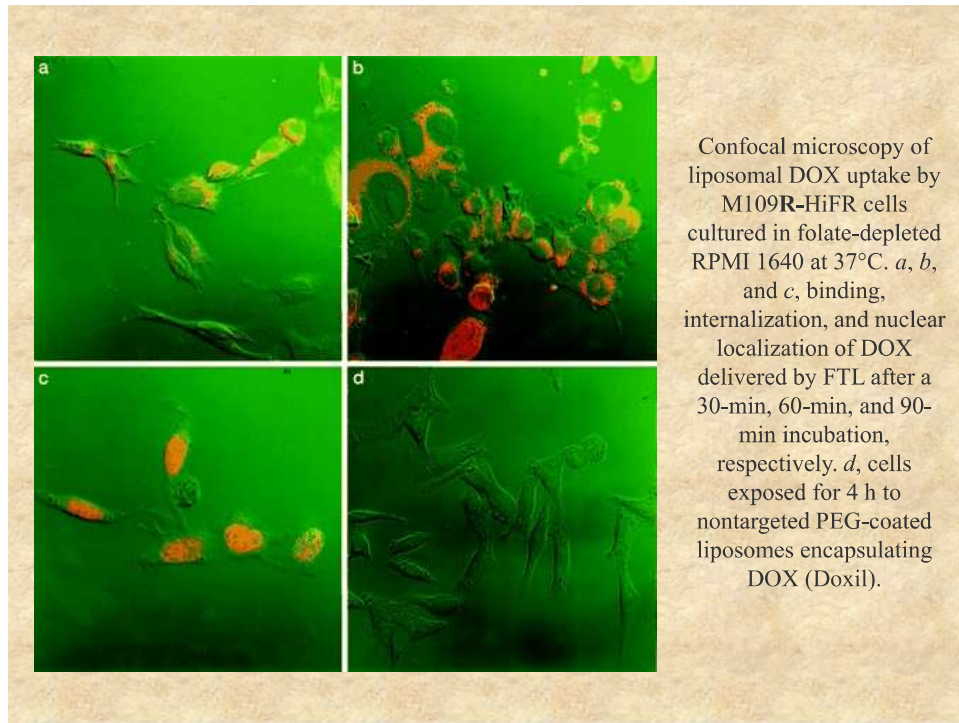
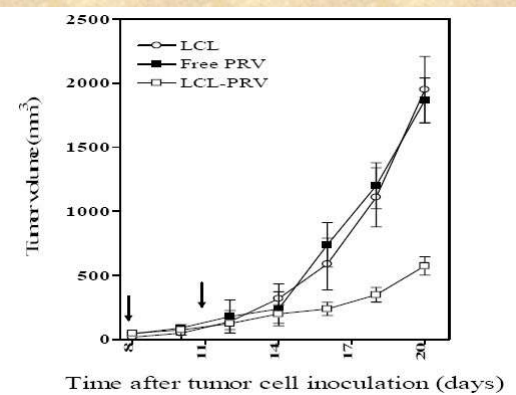


Confocal microscopy of liposomal DOX uptake by M109R-HiFR cells cultured in folate-depleted RPMI 1640 at 37°C. *a*, *b*, and *c*, binding, internalization, and nuclear localization of DOX delivered by FTL after a 30-min, 60-min, and 90-min incubation, respectively. *d*, cells exposed for 4 h to nontargeted PEG-coated liposomes encapsulating DOX (Doxil).

Sztatinok a tumorterápiában

Sokkal nagyobb dózis szükséges, mint a koleszterinszint csökkentéséhez, ezért célszerű liposzómába zárni.
(PRV = pravastatin)

egér melanóma modell



LDL-be zárt citosztatikumok

A daganatsejtek felszíni LDL-receptorainak száma a malignitással arányosan nő → szelektív bejuttatás a daganatba.

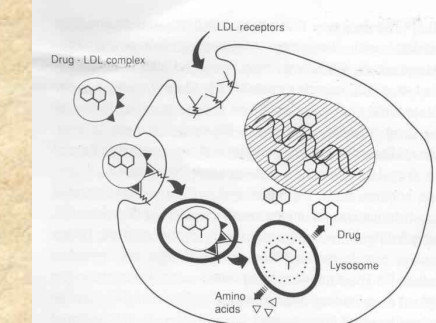


FIGURE 1
Proposed scheme (not to scale) for the receptor-mediated endocytosis of a lipophilic drug incorporated into LDL.

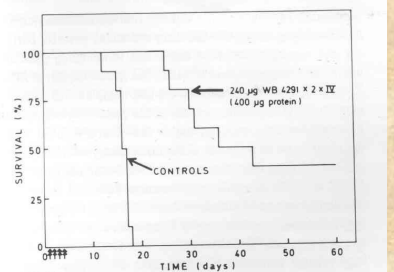


FIGURE 2
Survival of leukemic BALB/c mice after treatment with a WB 4291-LDL complex administered by intraperitoneal injection. The mice were inoculated intraperitoneally on day 0 with 10⁶ WEHI-3B cells (a murine myelomonocytic leukemia cell line) and the WB 4291-LDL complex was given on days 1-4. There were ten animals in each group. WB 4291 is a highly lipophilic nitrogen mustard derivative. (Reprinted, with permission, from *Br. J. Cancer* 62: 724-729, 1990.)

Immunliposzómák: szelektív kötődés a daganatsejthez. Toxin vagy citosztatikum zárható bele. TNF együttes adása segíti a liposzómák átlépését az erekből a tumorba.

Liposzómák biotechnológiájában és orvostudományban

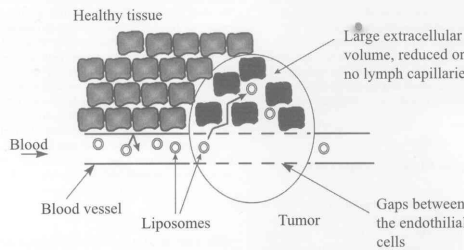
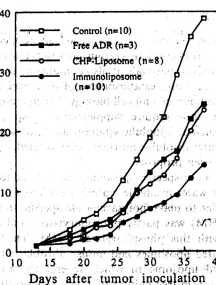


Fig. 9. The antitumor effect of adriamycin (ADR)-encapsulated immunoliposome on the growth of implanted PC-9 tumor. Athymic mice were subcutaneously inoculated with PC-9. The treatment with ADR-encapsulated liposomes was started when the estimated tumor weight of implanted PC-9 reached approximately 60 mg. At 3 days, tumor weight became approximately 60 mg.

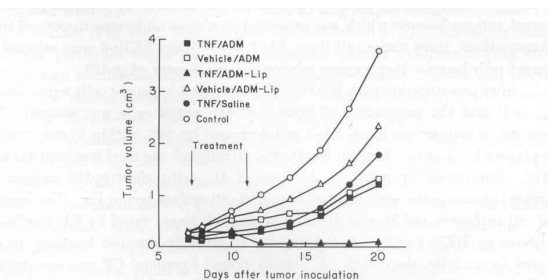


Fig. 3. Effect of TNF pretreatment on the growth inhibitory effect of ADM-Lip. The treatment with TNF and ADM-LIP was performed in 2 cycles at days showing by arrows. (Cited from Ref. of Suzuki et al. 1990).

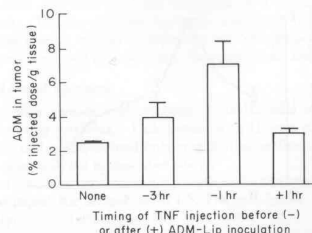


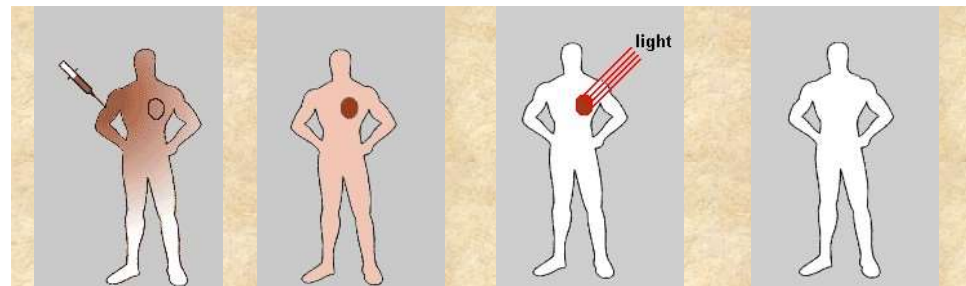
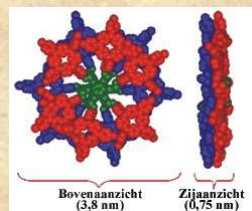
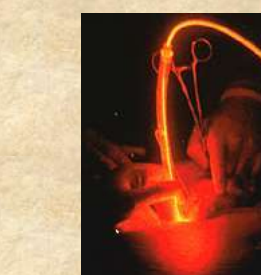
Fig. 2. Effect of injection time schedule of TNF treatment on the distribution to tumor. The indicated time after TNF injection, ADM-Lip were injected. (Cited from Ref. of Suzuki et al. 1990).

Fotodinámiás terápia (PDT)

Fényérzékenyítő anyagot (hematoporfirin, fthalocianin származékok, stb.) juttatnak a tumorosejtekbe. Megvilágítják megfelelő hullámhosszú fénnnyel → reaktív oxigéngyökök képződnek → tumorosejtek pusztulása.

A hatás függ a fényérzékenyítő anyag jellemzőitől. Minél hidrofilebb (pl. szulfonált forma) annál inkább a tumorban lokalizálódik. De a daganatpusztító hatás fordítottan arányos a szulfonáltsággal.

Megoldás pl.: a liposzómába zárt fényérzékenyítőt LDL-lel asszociáltatva juttatják a tumorba.

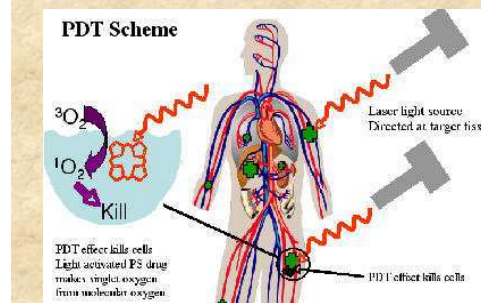


Fényérzékenyítő bejuttatása

A fényérzékenyítő felhalmozódása a daganatban

Besugárzás látható fénnnyel

Szelektív tumordestrukció



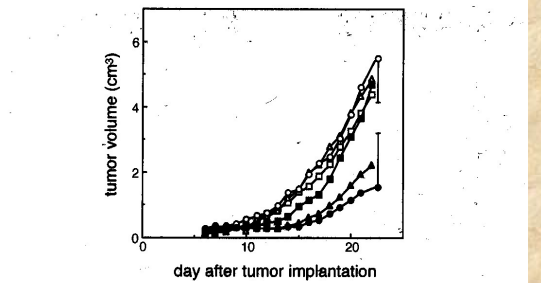
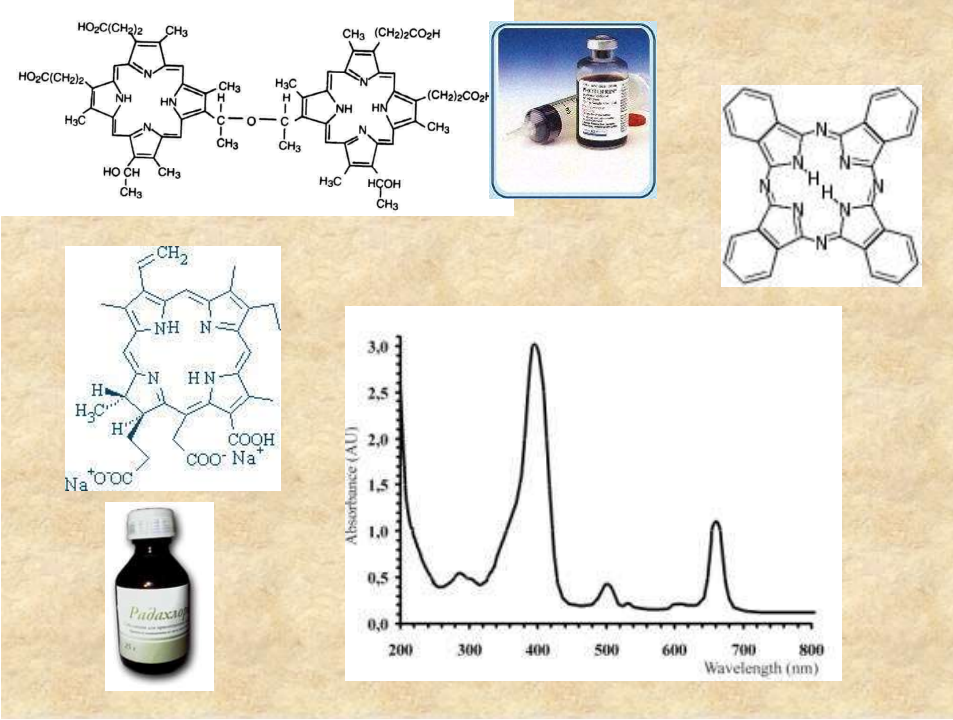


Fig. 1. Suppression of Tumor Growth by PDT with Free or Liposomal BPD-MA

Meth A sarcoma (1×10^6 cells/0.2 ml) were carefully implanted subcutaneously into the posterior flank of five-week-old Balb/c male mice. These mice (five per group) were injected i.v. with BPD-MA in PGLcUA-liposomes (●), BPD-MA entrapped in DPPG-liposomes (▲), or free BPD-MA (■), at day 6 after tumor implantation. In each injection, 2 mg/kg BPD-MA was dosed. Mice were kept in the dark for 5 h, and then their tumors were exposed to 690-nm laser light (180 J/cm^2). The tumor volume was determined at the indicated days as described in Materials and Methods. Open symbols show the tumor growth of the control mice injected with 0.3 M glucose solution (□) or with BPD-MA in PGLcUA (○) or DPPG (△) liposomes. S.D. bars are shown only for the last datum points of PGLcUA-liposomal treatment and its control for the sake of graphic clarity.

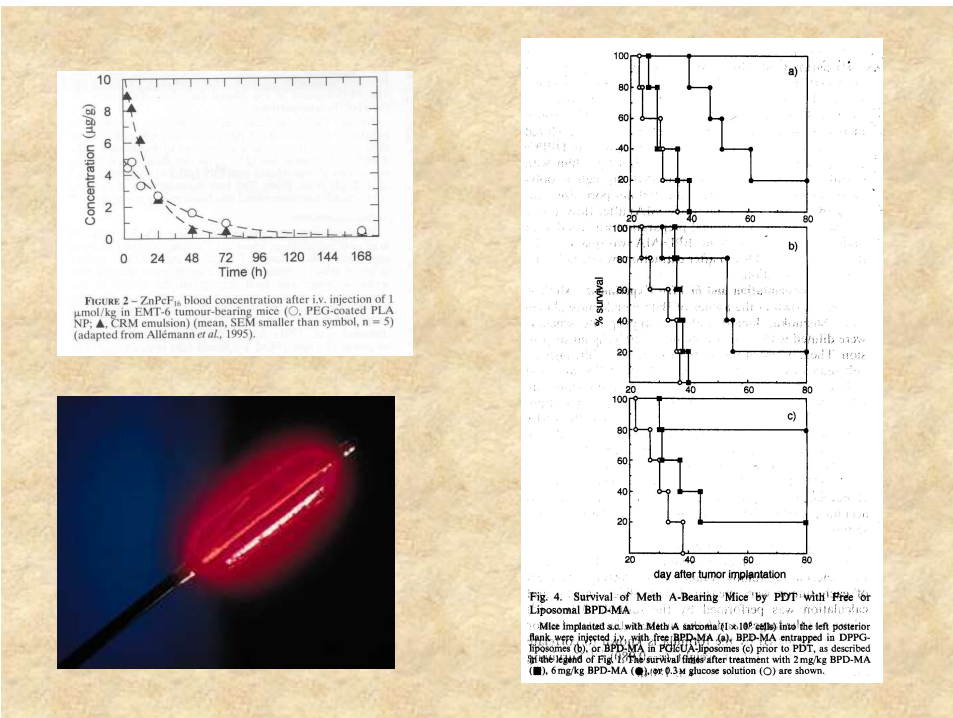
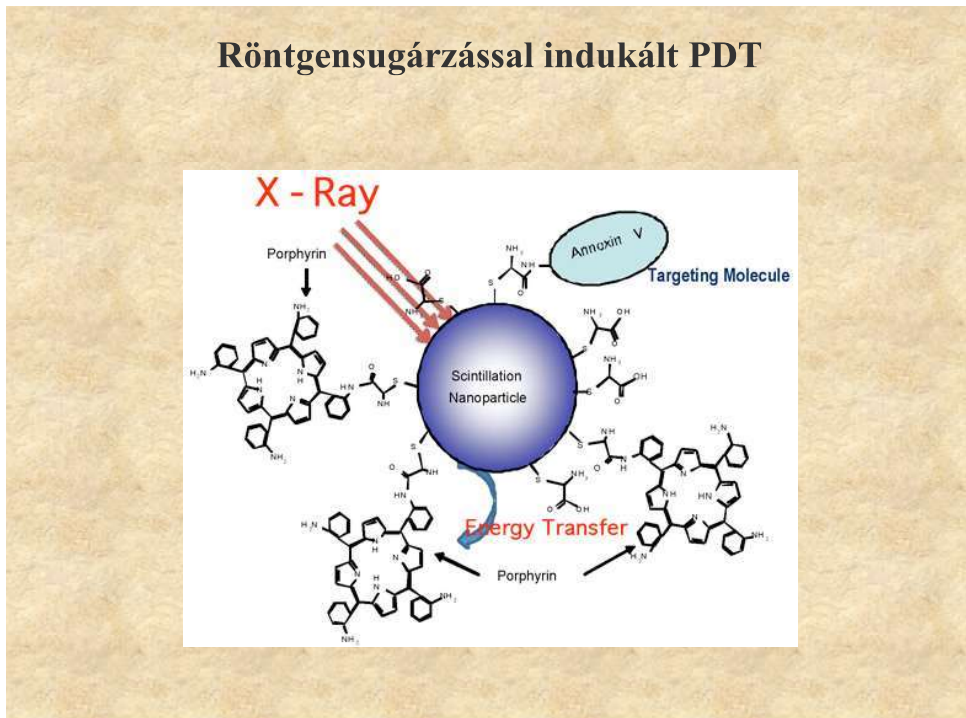


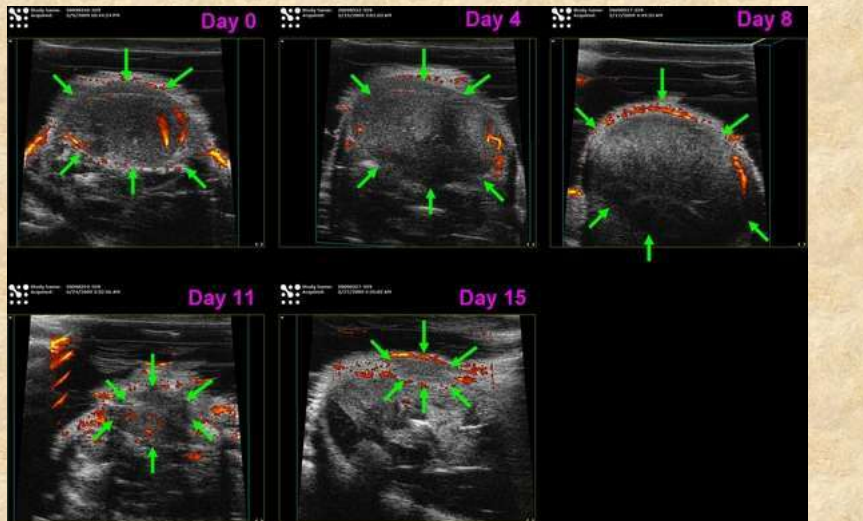
FIGURE 2 – ZnPcF₆ blood concentration after i.v. injection of 1 μmol/kg in EMT-6 tumour-bearing mice (○, PEG-coated PLA NP; ▲, CRM emulsion) (mean, SEM smaller than symbol, n = 5) (adapted from Allermann *et al.*, 1995).



FIG. 4. Survival of Meth A-Bearing Mice by PDT with Free or Liposomal BPD-MA
Mice bearing with Meth A carcinoma (1×10^6 cells/ml) in the posterior flank were injected i.v. with free BPD-MA (a), BPD-MA entrapped in DPPG-liposomes (b), or BPD-MA in PGLcUA-liposomes (c) prior to PDT, as described in the legend of Fig. 1. The survival rates after treatment with 2 mg/kg BPD-MA (■), 6 mg/kg BPD-MA (●), or 0.3 M glucose solution (○) are shown.



Radioterápia célzott izotópkezeléssel (Re-188)



Longitudinal power Doppler ultrasound Imaging. The images were acquired at 0, 4, 8, 11 and 15 days after injection of ¹⁸⁸Re-liposome (29.6 MBq). Locations of color signals indicative of blood vessels. The arrow marks an area of tumor. The imaging showed a decrease in the tumor volume and number of blood vessels.

Forgalomban lévő liposzómás daganatellenes gyógyszerek

Név	Hatóanyag	Gyártó	Egyéb	Indikáció
<u>DepoCyt</u>	citarrabin	SkyePharma	-	malignus lymphomás meningitis
<u>DaunoXome</u>	daunorubicin	Gilead Sciences	-	Kaposi-sarcoma
<u>Doxil/Caelyx</u>	doxorubicin	Ortho Biotech, Schering-Plough	PEGilált	Kaposi-sarcoma, metasztázisos mell- és petefészekrák
<u>Myocet</u>	doxorubicin	Zeneus	-	ciklofoszfamid terápiával kombinálva metasztázisos mellrákban
<u>Visudyne</u>	verteporfirin	QLT, Novartis	-	PDT időskori macula degeneráció, patológiai myopia és szemésszeti hisztoplazmózis
<u>Marqibo</u>	vincristin	Talon Therapeutics	-	Philadelphia kromoszóma negatív felnőtt ALL
<u>Lipusu</u>	paclitaxel	Luye Pharma Group	-	petefészekrák, mellrák és nem-kisjesites tüdőrák

4.AIDS

Mind a celluláris (főleg a CD4⁺ limfociták számának csökkenése miatt) mind a humorális immunválasz csökkent → védekezési képtelenség a fertőzésekkel szemben (opportunista fertőzések)



Okozója a HIV vírus – reverz transzkriptázzal rendelkező RNS vírus. A kezelés alapja a reverz transzkriptáz gátlása dezoxinukleozid-analógokkal, melyekben a 3'-OH- csoportot H-, azido-, vagy más csoport helyettesíti → nem képeznek foszfodiészter kötést. Hosszú távon alkalmazandók, ezért toxicitásukat figyelembe kell venni. Kombinációjuk célszerű – kevésbé szokik hozzá a vírus, kisebb toxicitás (a purin és pirimidin analógok más-más úton hatnak)

Pl. 3'-azido-3'-dezoxitimidin (AZT) = zidovudin (ZDV)

Hosszabb kezelés során csontvelői toxicitása van.

Liposzómába zárással kivédhető. A plazmában tartózkodás ideje is nő.

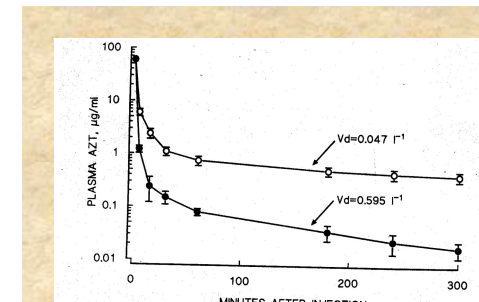
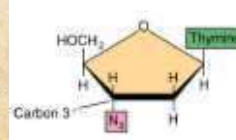


Fig. 7. Plasma AZT levels following the administration of AZT (■) or liposomal AZT (○). Plasma AZT levels (as ³H-methyl-AZT) were determined at 15–300 min following the i.v. administration of a bolus of AZT or liposomal AZT at a dose of 60 μg/mouse (2 mg/kg body weight). Results show the calculated V_d of groups of 5 mice. Volumes of distribution (V_d) were calculated using the equation: $V_d = A/A_0 \times C_0$, where $A = 60 \mu\text{g}/\text{mouse}$, $A_0 = 60 \mu\text{g}/\text{mouse}$, $C_0 = \text{plasma concentration at time zero}$.



Table III. Tissue distribution of AZT and liposomal AZT.

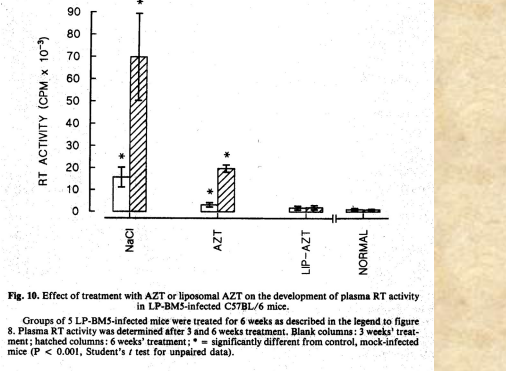
Tissue	AZT	% Injected dose/g tissue ^(a)	
		DPPC/DMPG	Liposomal AZT DPPC/PS
Liver	0.59 ± 0.06	3.10 ± 0.21 ^(b)	2.10 ± 0.13 ^(b)
Spleen	0.60 ± 0.10	2.30 ± 0.08 ^(b)	2.15 ± 0.12 ^(b)
Kidney	7.00 ± 1.45	2.30 ± 0.41 ^(b)	1.10 ± 0.08 ^(b)
Lung	0.30 ± 0.19	1.90 ± 0.17 ^(b)	4.60 ± 0.35 ^(b)
Muscle	0.40 ± 0.11	0.50 ± 0.14	0.45 ± 0.17
Brain	0.15 ± 0.09	0.18 ± 0.10	0.16 ± 0.06
Bone marrow ^(d)	0.02 ± 0.003	< 0.0001 ^(b)	< 0.0001 ^(b)
Urine	59.9 ± 4.8	23.8 ± 3.6 ^(b)	21.9 ± 2.7 ^(b)

^(a)Groups of 5 CD1 mice were treated with AZT (2 mg/kg body weight) or 2.5-μmol liposomes containing AZT (2 mg/kg body weight) spiked with ³H-methyl-AZT. DPPC/DMPG liposomes were formulated in the molar ratio 10/1; DPPC/PS liposomes were formulated in the molar ratio 7/3. Tissue distribution was determined 60 min after i.v. injection using a dose volume of 200 μl.

^(b)Significantly different from AZT treatment ($P < 0.01$, Student's *t*-test for unpaired data).

^(c)Significantly different from DPPC/DMPG liposomes ($P < 0.01$).

^(d)Results for bone marrow are expressed as percent dose/ 10^6 nucleated cells. The limit of detection using ³H-methyl-AZT was 2.5 pg AZT.



Groups of 5 LP-BM5-infected mice were treated for 3 weeks as described in the legend to figure 8. Plasma RT activity was determined after 3 weeks treatment. Blank columns: 3 weeks' treatment; hatched columns: 6 weeks' treatment; * = significantly different from control; mock-infected mice ($P < 0.001$, Student's t test for unpaired data).

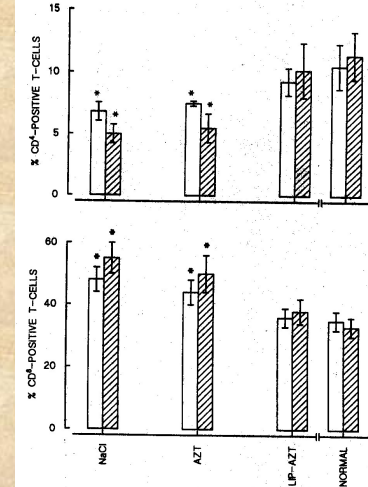
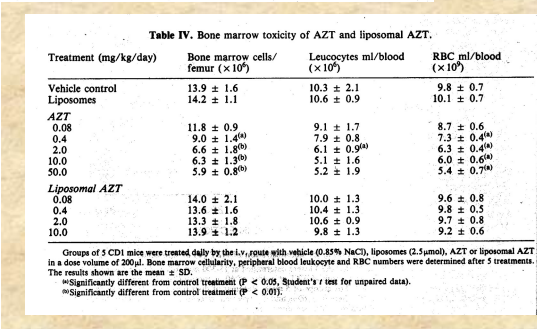


Fig. 9. Effect of treatment with AZT or liposomal AZT on splenic CD4⁺ and CD8⁺ T-cell populations.

Groups of 5 LP-BM5-infected mice were treated for 3 or 6 weeks as described in the legend to figure 8.

Upper panel: proportion of CD4⁺ T cells; *lower panel:* proportion of CD8⁺ T cells; blank columns: 3 weeks' treatment; hatched columns: 6 weeks' treatment; * = significantly different from control, mock-infected mice ($P < 0.01$, Student's t test for unpaired data).

Adjuváns hatás

Adjuváns: bármely ágens, amely nem specifikusan fokozza az immunválaszt egy specifikus antigénnel szemben.

A liposzómák hatékony adjuvánsként működnek, így pl. az AIDS során lecsökkent immunválaszt is fokozzák.

Előnyük: - nem toxikusak

- egyszerűen előállíthatók
- összetételük szükség szerint változtatható

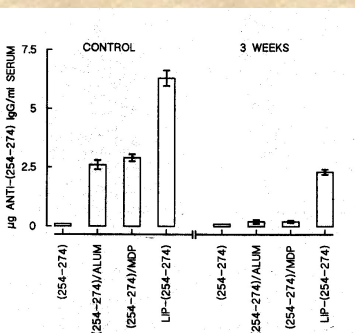
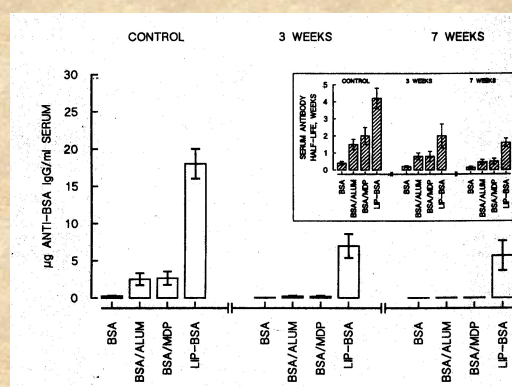


Fig. 4. Immunoadjuvant activity against peptide (254-274) in normal mice and in mice with MAIDS.



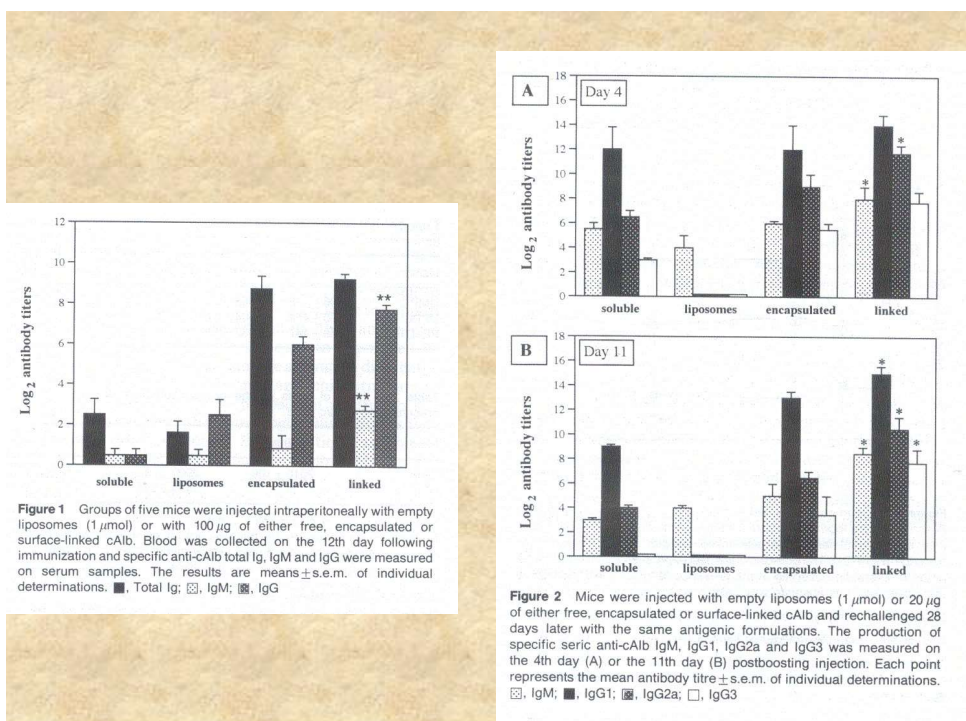
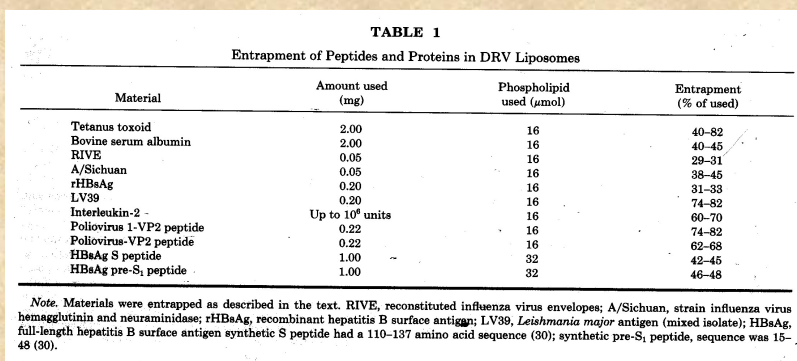
5. Vaccinatio

Kihasználható a liposzómák adjuváns hatása (liposzómában bevitt antigénnel az immunválasz fokozható)

Specifikus antigének zárhatók liposzómába, vagy köthetők a felszínre (a hatás az Ag elhelyezkedésétől függ.)

- Bezárt Ag → rövid távú válasz, főleg IgG1 termelődik.
- Felületeken kötött Ag → hosszú távú válasz, IgG1, IgG2a, IgG3, IgM termelődik.

A két esetben a hatásmechanizmus különböző.



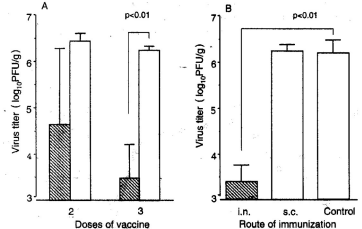


Fig. 1. Protective effects of two or three immunizations with liposomal NP366-374 together with anti-CD40 mAb (A). Three to four mice in each group were immunized intranasally twice or three times at 2-week intervals. Subcutaneous immunization provided no effective immunity against virus replication in the lung (B). Three to four mice in each group were intranasally or subcutaneously immunized three times at 2-week intervals. Mice were challenged intranasally with A/PR/8/34 (H1N2) 1 week after the last immunization. In both experiments, control mice were given liposome alone. Five days later, mice were sacrificed and lungs were collected. Lung virus titers were determined as described in Section 2. Bars and error bars represent mean titers and standard deviations for each group.

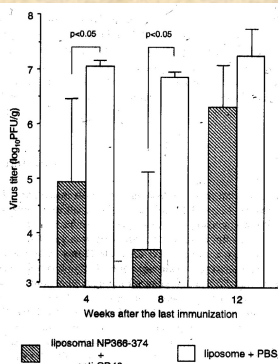


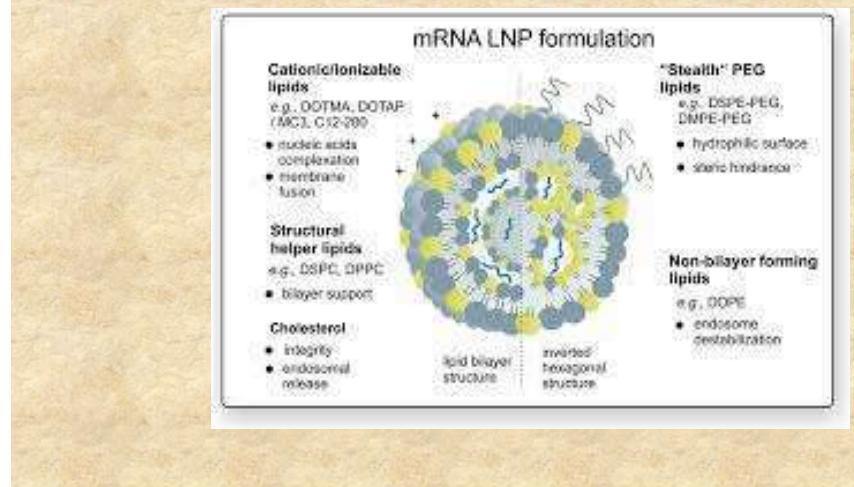
Fig. 2. Duration of the protective effect of immunization with liposomal NP366-374 together with anti-CD40 mAb. Three to four mice in each group were immunized intranasally three times at 2-week intervals. Mice were challenged with A/Alach/2/68 (H1N2) 4, 8, or 12 weeks after the last immunization. Five days later, lungs of mice were collected to calculate virus titers. Bars and error bars represent means and standard deviations for each group.



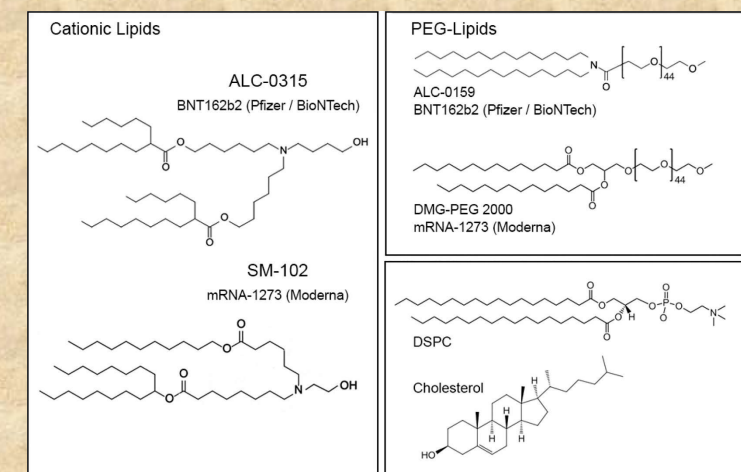
Lipid Name	Role	Abbreviation or Lab Code	CAS Registry Number
BNT162b2 vaccine (Pfizer/BioNTech)			
(4-hydroxybutyl)azanediyl bis(hexane-6,1-diyl)bis(2-hexyldecanoate)	ionizable cationic lipid	ALC-0315	2036272-55-4
(2-hexyldecanoate), 2-[(polyethylene glycol)-2000]-N,N-ditetradecylacetamide	PEG-lipid	ALC-0159	1849616-42-7
1,2-distearoyl-sn-glycero-3-phosphocholine	helper lipid	DSPC	816-94-4
cholesterol	helper lipid	Chol	57-88-5
mRNA-1273 vaccine (Moderna)			
heptadecan-9-yl 8-((2-hydroxyethyl)(6-oxo-6-(undecyloxy)hexyl)amino)octanoate	ionizable cationic lipid	SM-102	2089251-47-6
1,2-dimyristoyl-rac-glycerol-3-methoxypolyethylene glycol-2000	PEG-lipid	PEG2000-DMG	160743-62-4
1,2-distearoyl-sn-glycero-3-phosphocholine cholesterol	helper lipid	DSPC	816-94-4

Az ionizálható kationos lipid alacsony pH-n pozitív töltésű, így könnyen képez komplexet az mRNS-sel. A vér pH-ján semleges, így csekély a toxicitása.

Pfizer-BioNTech, illetve Moderna COVID-19 vakcina mRNS lipid nanoparticulumban

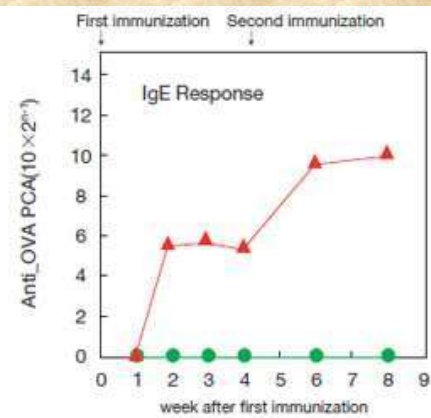
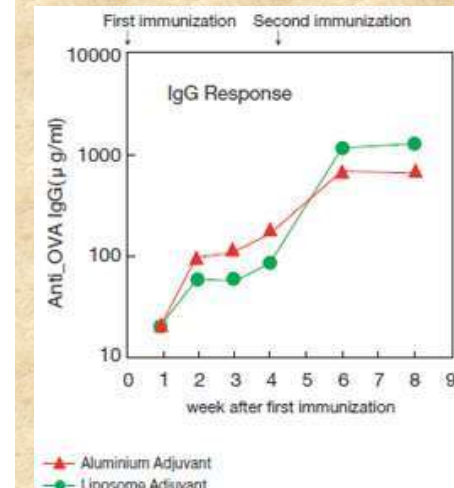
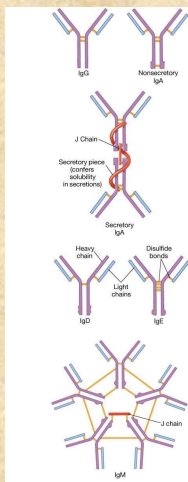


A lipid nanopartikulumokat alkotó lipidek



6. Allergia kezelése

Az allergiás reakció során IgE termelődik. Megfelelő összetételű liposzómába zárva az antigént csökkenthető az IgE és fokozható az IgG termelődése → allergiás betegségek immunterápiája.

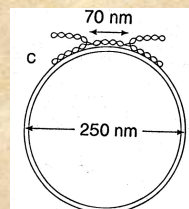
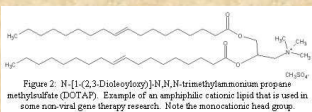


7. Génátvitel

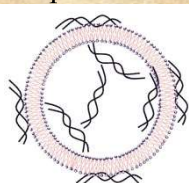
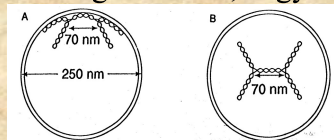
Megvalósítható DNS-darab bezárása, vagy a liposzóma felszínén való megkötése útján (főleg pozitív töltésű liposzómák esetén)

A kötődés lehet:

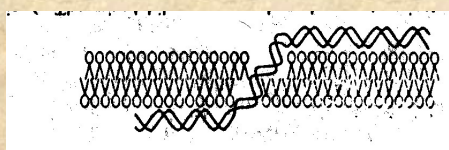
- elektrosztatikus kapcsolódás a külső felszínhez



- a liposzóma üregébe zárva, vagy a belső felszínhez kapcsolódva

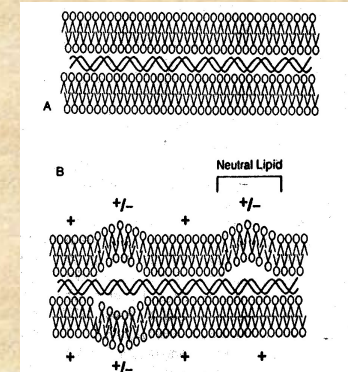
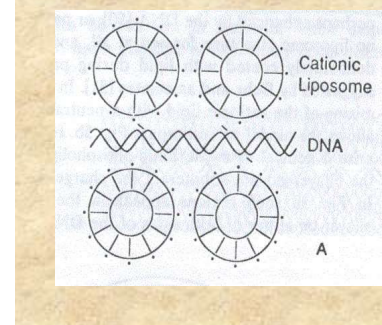


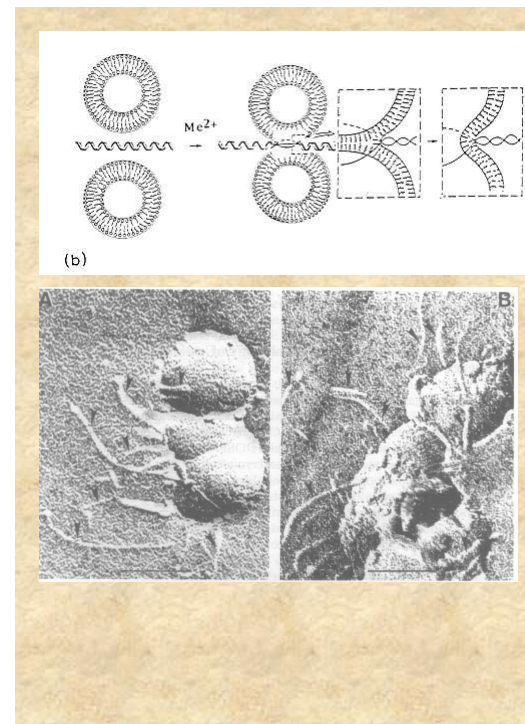
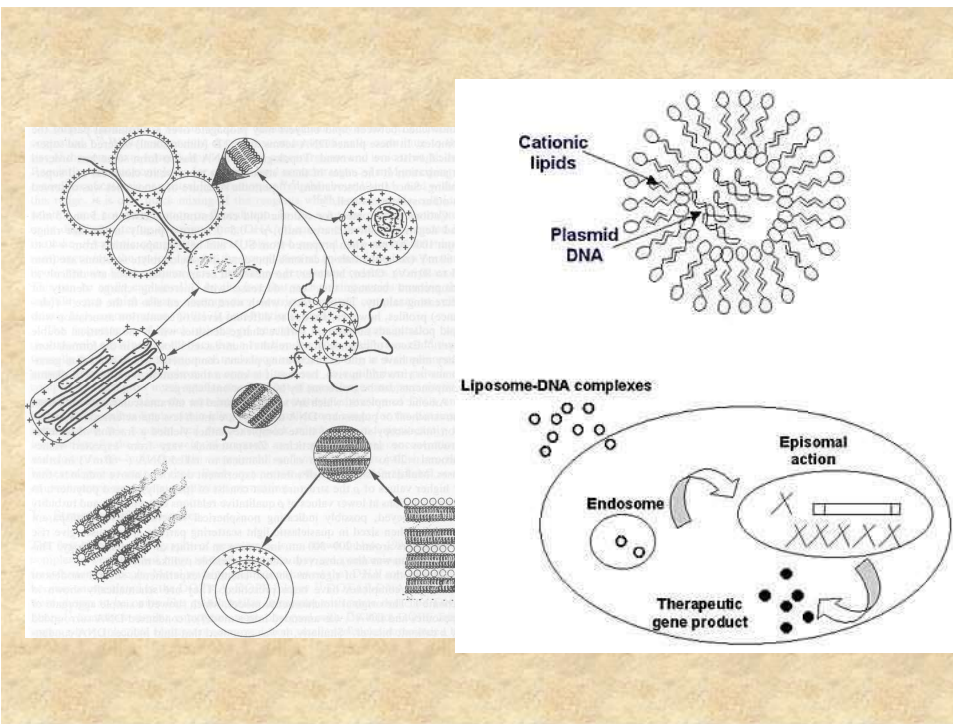
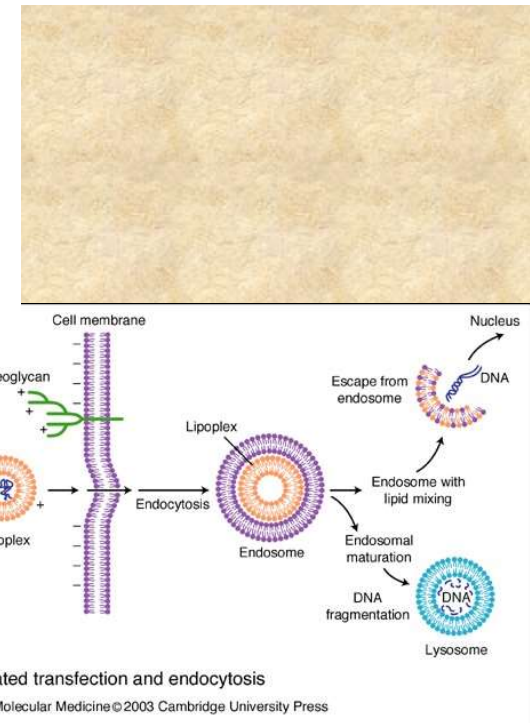
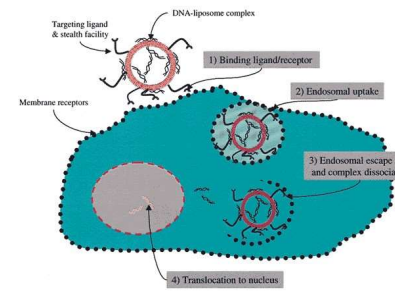
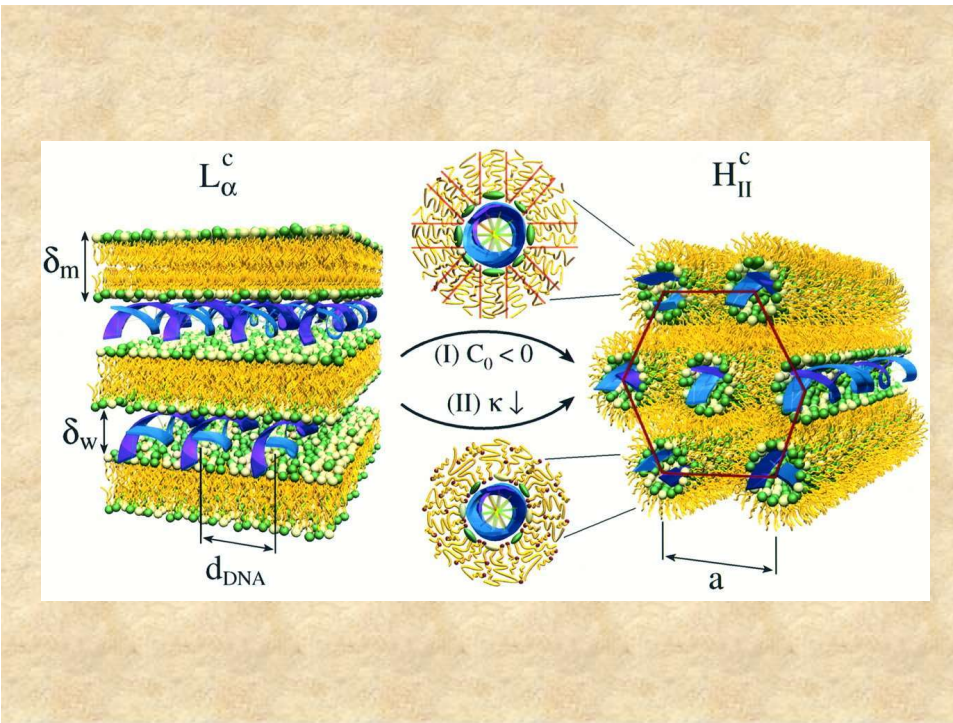
- részben belül, részben kívül



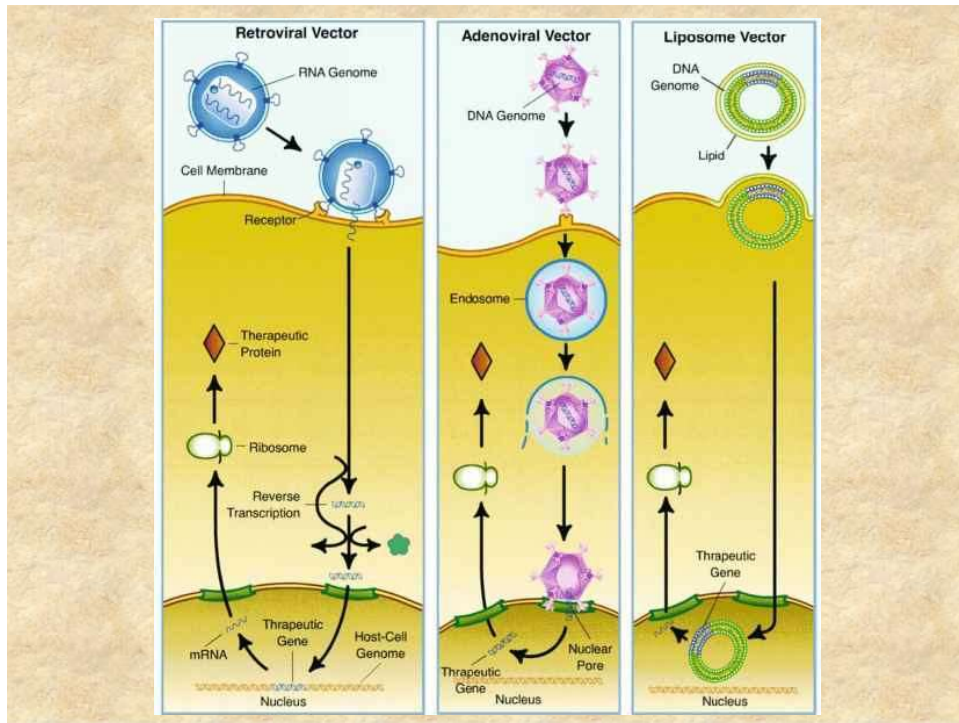
- fúzió során két bilayer közé kerülhet a DNS
A sejtbe juttatáshoz legcélszerűbb a liposzóma és a sejtmembrán fúziója.
A liposzóma felszíni markereitől függően más-más sejtek vehetik fel, pl. galaktáz – májsejtek; mannóz – fehérversejtek

A DOPE általában alkotóeleme az ilyen célú liposzómáknak membrándestabilizáló hatás (ahhoz szükséges, hogy a DNS kiszabaduljon az endoszómából)





	Calcium phosphate precipitation	Direct injection	Retroviral mediated	Lipofection
Viable <i>in vitro</i>	-	+	?	+
Efficient means of delivery	-	+	+	+
Not disruptive to cell membrane	-	-	+	+
Transfects many cell types	+	+	?	+
Non carcinogenic	+	+	-	+
Metabolizable delivery agent	-	-	-	+
Reproducibility	-	+	+	#
Ability to target to specific tissues <i>in vivo</i>	-	+	-	+
Low cost	+	+	-	-



83

13.3 Liposomes in gene therapy

- ❑ Recombinant DNA tech., studies of gene function & gene therapy all depend on delivery of nucleic acids(genetic material) into cells in vitro & in vivo.
- ❑ Gene can be viral (adenovirus, retrovirus) & non viral(liposomes & lipid based systems, polymers & peptides)

Type of vectors	Advantages	Disadvantages
Viral vectors (Adenovirus, retrovirus & adeno-associated virus)	Relatively high transfection efficiency	<ul style="list-style-type: none"> ■ Immunogenicity, presence of contaminants & safety ■ Vector restricted size limitation for recombinant gene
Non viral vectors (liposomes/lipid based systems, polymers & peptides)	<ul style="list-style-type: none"> ■ Favorable, pharmaceutical issue-GMP, stability, cost ■ Plasmid independent structure ■ Low immunogenicity ■ Opportunity for chemical/physical manipulation 	<ul style="list-style-type: none"> ■ low transfection efficiency

12/13/2015

DNA delivery of Genes by Liposomes

Cheaper than viruses

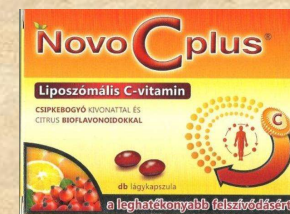
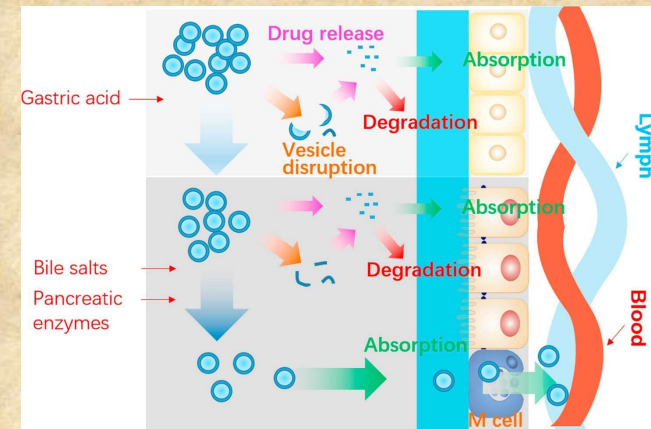
No immune response

Especially good for in-lung delivery (cystic fibrosis)

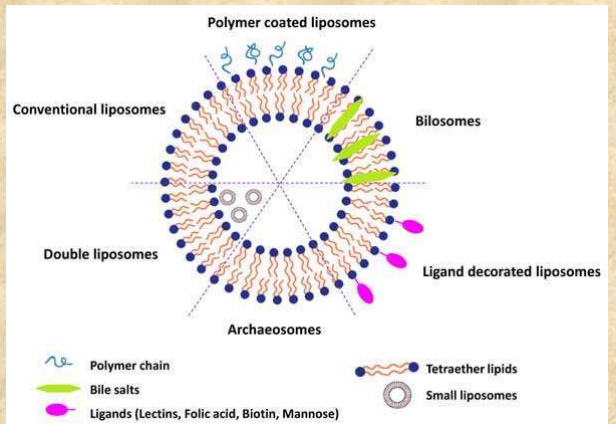
100-1000 times more plasmid DNA needed for the same transfer efficiency as for viral vector

51

Orális bevitel



A liposzómák módosítása az orális bevitel hatásfokának javításához



Archaeosomes as liposomes made with one or more ether lipids that are unique to the domain of Archaeobacteria, found in Archaea constitute a novel family of liposome. Achaean-type lipids consist of archaeol (diether) and/or caldarchaeol (tetraether) core structures.